

ДОКЛАДЫ
АКАДЕМИИ НАУК СССР

1981

ТОМ 257 № 3

(ОТДЕЛЬНЫЙ ОТТИСК)

✓

Г.И. ЛИХТЕНШТЕЙН, А.И. КОТЕЛЬНИКОВ, А.В. КУЛИКОВ

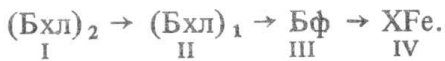
**О СТРОЕНИИ И МЕХАНИЗМЕ ФУНКЦИОНИРОВАНИЯ
РЕАКЦИОННОГО ЦЕНТРА ФОТОСИНТЕЗИРУЮЩИХ БАКТЕРИЙ**

(Представлено академиком А.А. Красновским 21 VIII 1980)

Превращение световой энергии в химическую осуществляется в реакционных центрах (р.ц.) – своеобразных фотоферментах, локализованных в мембранах фотобактерий и хлоропластах растений. Первая и наиболее принципиальная стадия работы р.ц. состоит в переносе электрона от фотовозбужденной молекулы хлорофилла (донора) D к первичному акцептору A_1 с получением стабильных фоторазделенных зарядов D^+ и A_1^- и с запасанием энергии 0,5 эВ. Важным условием такой стабилизации является низкая скорость рекомбинации зарядов, т.е. реакции между сильным окислителем D^+ и сильным восстановителем A_1^- . Согласно экспериментальным данным для модельных систем в растворах реакции рекомбинации в диффузионных парах осуществляются с громадными скоростями, близкими к значениям $K_{\text{рек}} = 10^{10} - 10^{11} \text{ с}^{-1}$ (1).

Для биологических систем наблюдались значения на 7–8 порядков меньшие. Поэтому в работе (2) было сделано предположение о том, что в момент завершения акта фоторазделения D^+ и A_1^- уже не находятся в непосредственной близости друг от друга, а разделены в пространстве. Перенос электрона, как предполагалось, осуществляется по туннельному механизму через барьер, приблизительно, треугольной формы, причем после перехода в прямом направлении электрон опускается на более низкий энергетический уровень. В таком случае при переходе в прямом направлении возбужденный электрон должен пройти меньшее расстояние, чем в обратном. Предположение о туннельном механизме в значительной мере подтвердилось в последующих исследованиях. В частности, для бактериальных и растительных фотосистем было показано наличие температурно-независимого процесса рекомбинации зарядов, что указывало на туннельный механизм рекомбинации (3). В работе (4) методом э.п.р. было установлено, что в реакционных центрах расстояние между донором (димер бактериохлорофилла, $(\text{Бхл})_2$) и первичным акцептором (комплекс железа с хиноном, XFe) составляет около 35 Å. Эти результаты, а также данные по обнаружению промежуточного акцептора бактериофеофитина Бф позволили построить схему строения р.ц. (5).

В последние годы появились новые данные о наличии спин-спинового (4–8) и электростатического взаимодействия между компонентами р.ц., а также о включении в цепь переноса еще одного промежуточного акцептора – молекулы бактериохлорофилла (Бхл_1) (8). Анализ этих данных позволяет построить более детальную схему строения и функционирования р.ц., приводящего к переносу электрона в следующей последовательности:



Для количественного анализа результатов по обменному взаимодействию можно рассмотреть данные для модельных систем. На рис. 1 изображена зависимость эффективных констант скоростей обмена ($K_{\text{об}}$) от расстояния между обменяющимися центрами. Величины $K_{\text{об}}$ были получены методом э.п.р., измерением статической восприимчивости и измерением констант скоростей тушения фосфоресценции вследствие обменного триплет-триплетного переноса (т.т.п.) или интеркомбинационной конверсии (9–12). Как видно из рисунка, все данные укладыва-

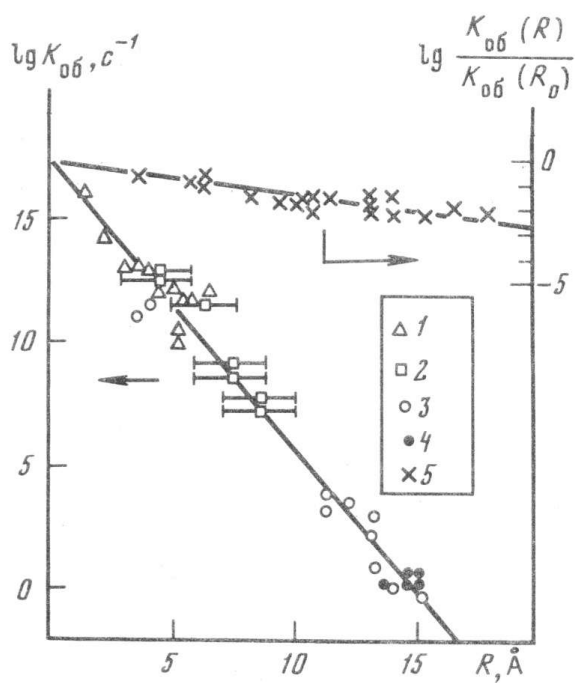


Рис. 1. Зависимость эффективной константы обменного взаимодействия $K_{\text{об}}$ от расстояния R между взаимодействующими центрами. 1 – значения обменного интеграла ($K_{\text{об}} = J$) для спинового обмена между нитроксильными радикалами, находящимися в структуре кристаллической решетки (⁹), стр. 19, 226, 228), 2 – значения обменного интеграла ($K_{\text{об}} = J$) для спинового внутримолекулярного обмена между нитроксильными радикалами и парамагнитными ионами (¹⁰), 3 – значения константы скорости обменного триплет-триплетного переноса энергии K_T ($K_{\text{об}} = K_T$) (¹¹), 4 – значения константы скорости обменной дезактивации триплетных возбужденных состояний парамагнитными ионами K_T ($K_{\text{об}} = K_T$) (¹¹), 5 – значения обменного интеграла ($K_{\text{об}} = J$) для спинового обмена в бирадикалах (¹²) с сопряженными мостиками. В 3 и 4 в качестве R брались перреновские радиусы тушения триплетных состояний, а в качестве констант тушения – $e/\tau_{\text{фосф}}$

ваются в две приближенные зависимости: зависимость 1 для систем с непроводящей средой (насыщенные связи внутри молекул, вступающих в обменное взаимодействие, и в молекулах растворителя) и зависимость 2 для систем, где центры отделены проводящими мостиками (сопряженные связи). Количественно обе зависимости описываются уравнением

$$(1) \quad K_{\text{об}} = 10^{17} e^{-2R/L},$$

где $L = 0,7$ или $6,5 \text{ \AA}$.

Для непроводящих систем обмен затухает, приблизительно, в 10 раз на 1 \AA , для проводящих сред эффективность затухания почти в 9 раз меньше. Уравнение (1) может быть использовано для оценки расстояния между центрами из величин обменного взаимодействия.

На рис. 2 показаны зависимости квадратов интегралов перекрывания S^2 от расстояния между атомами R . Согласно теории (¹³) скорость переноса электронов $K_{\text{п}}$ пропорциональна S^2 . Интересно отметить, что характер затухания S^2 и $K_{\text{об}}$ от R аналогичен. Для данных по триплет-триплетному переносу этот результат представляется разумным, поскольку обменно-резонансный перенос возбуждения можно представить как одновременный процесс переноса возбужденного электрона с донора на акцептор и невозбужденного – с акцептора на донор. Так как возбужденные орбитали делокализованы в пространстве больше, чем невозбужденные, скорость переноса определяется более медленным переносом невозбужденного электрона. Таким образом, данные по обмену можно рассматривать как меру чисто электронного процесса, а величину $\beta = K_{\text{п}}/K_{\text{об}}$ – как количественную меру эффектов реорганизации ядерного окружения.

В работе (¹⁴) сообщалось о том, что в бактериальной системе при температурах ниже 10 K наблюдается расщепление сигнала э.п.р. промежуточного анион-радикала БФ^- в результате спин-спинового взаимодействия с восстановленным первичным акцептором XFe^- . Если предположить, что это расщепление в 60 \AA полностью обусловлено диполь-дипольным взаимодействием, то оценка по соответствующей формуле для непроводящей среды дает величину расстояния между БФ и

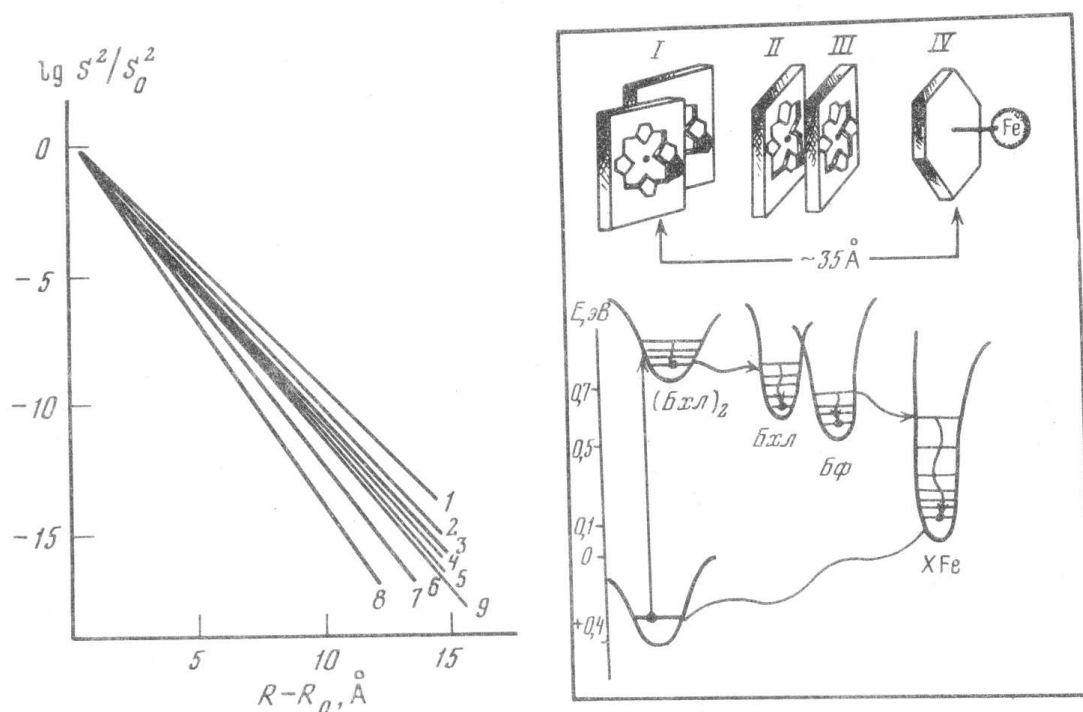


Рис. 2. Зависимость значений $\lg S^2/S_0^2$ от расстояния R между атомами для различных пар атомов. Построено по данным работы ⁽¹³⁾. $S(R)$ – интеграл перекрывания на расстоянии R . В скобках приведены электронные конфигурации атомов. 1 – C(¹D)–C(¹D), H–C(¹D); 2 – C(³P)–C(³P); 3 – C(³P)–N(²D); 4 – H–C(³P); 5 – H–N(²D), N(²D)–N(²D), N(²D)–O(³P); 6 – C(³P)–N(⁴S), C(³P)–O(³P); 7 – H–O(³P); 8 – N(⁴S)–N(⁴S), O(³P)–O(³P), N(⁴S)–O(³P); 9 – зависимость $K_{\text{об}}(R)/K_{\text{об}}(R_0)$ от расстояния между центрами (из рис. 1)

Рис. 3. Схема пространственного расположения и энергетических уровней донора, промежуточных акцепторов и первичного акцептора реакционного центра фотосинтезирующих бактерий

XFe ($r_{\text{III-IV}}$) = 7,5 Å. Однако, как показано в работе ⁽⁶⁾, опыты по влиянию магнитного поля на скорость рекомбинации $(\text{Бхл})_2^+$ и Бф^- в отсутствие и присутствии атома Fe позволили сделать заключение о наличии обменного взаимодействия между Бф^- и XFe с величиной $J = 10 \text{ Э} = 1,5 \cdot 10^8 \text{ с}^{-1}$. Согласно калибровочной зависимости на рис. 1 это соответствует расстоянию между центрами, разделенными непроводящей средой $r_{\text{III-IV}} = 8,5 + 1 \text{ Å}$. С другой стороны, поправка на вклад обменного взаимодействия в Д увелличивает величину $r_{\text{III-IV}} = 8 \text{ Å}$. Таким образом, две независимые оценки привели к близким величинам расстояний. Интересно отметить, что по данным фото- и циркулярного диахроизма $r_{\text{I-II}}$ и $r_{\text{II-III}} < < 13 \text{ Å}$ ⁽⁸⁾ (расстояние между центрами хромофоров).

Изучая влияние магнитного поля на выход флуоресценции в клетках *Rhodopseudomonas sphaeroides*, авторы работы ⁽⁷⁾ пришли к заключению о наличии спин-спинового обменного взаимодействия между $(\text{Бхл})_2^+$ и Бф^- с величиной $J = 80 \text{ Э} = 1,2 \cdot 10^9 \text{ с}^{-1}$. Это соответствует толщине непроводящего слоя $r_{\text{I-III}} = 8 \pm 1 \text{ Å}$. В других микроорганизмах обменное взаимодействие не было обнаружено, следовательно, величина $J < 5 \text{ Э} = 8 \cdot 10^7 \text{ с}^{-1}$ и $r_{\text{I-III}} > 9 \text{ Å}$. Учитывая, что в разных методах отсчет расстояния производится от различных участков молекул, можно считать, что полученные значения расстояний хорошо согласуются друг с другом. Если принять эти значения как достоверные и учсть данные работы ⁽⁸⁾, в которой оценены значения расстояния между плоскостями молекул Бхл₁ и Бф $r_{\text{II-III}} \approx 4 \text{ Å}$, и принять для расстояния между $(\text{Бхл})_2$ и XFe $r_{\text{I-IV}} = 35 \text{ Å}$ ⁽⁴⁾, то можно постро-

ить схему расположения компонент р.ц., принимающих участие в переносе электрона (рис. 3). При построении схемы учтено, что суммарное расстояние $r_{I-III} + r_{III-IV}$, соответствующее переносу через непроводящую среду, меньше $r_{I-IV} = 35 \text{ \AA}$. По-видимому, часть своего пути электрон проходит по проводящей среде через сопряженную систему молекул хлорофилла и хиона. Такое чередование проводящих и непроводящих участков, по-видимому, является оптимальным для проведения быстрого процесса в прямом направлении, когда электрон делает несколько коротких туннельных прыжков, и медленного обратного процесса. В последнем случае реагенты разделяют широкий барьер. Следует отметить, однако, что наличие проводящих участков, по-видимому, оказывает квантово-механическое содействие и обратному переносу. В противном случае обратный перенос через непроводящий барьер шириной 35 Å должен был бы осуществляться с ничтожной скоростью.

Представляется интересным сопоставить значение констант скоростей обмена и электронного переноса между центрами и оценить значение величины β , которая эффективно характеризует замедление скорости переноса электрона из-за медленности процессов реорганизации среды. По данным работы (15), константа скорости переноса электрона $K_p^{I-III} = 10^{11} \text{ с}^{-1}$, $K_p^{III-I} = 10^8 \text{ с}^{-1}$ и $K_p^{III-IV} = 5 \cdot 10^9 \text{ с}^{-1}$. Этим значениям соответствуют следующие величины β : $\beta^{I-III} = 1,25 \cdot 10^2$, $\beta^{III-I} = 0,12$ и $\beta^{III-IV} = 10$. Значения $\beta > 1$ для прямого переноса можно объяснить тем, что перенос электрона осуществляется между возбужденными орбиталиями, которые характеризуются большей делокализацией в пространстве по сравнению с основным состоянием. Так как значение β^{III-IV} велико, то можно заключить, что перенос электрона с БФ на XFe не требует заметной динамической адаптации ядерного окружения. Об этом свидетельствует также возможность быстрого переноса электрона с BF^- на A_1 при очень низких температурах. Приведенные выше значения β можно сопоставить со значениями β для модельных комплексов. Как показал анализ экспериментальных констант скоростей в диффузионных парах K_p и теоретически ожидаемых величин K_{ob} для комплексов с проводящими лигандами, величина $\beta \approx 10^{-6}$ почти на 5 порядков меньше, чем для биологических систем.

Таким образом, в реакционных центрах сочетаются следующие факторы, существенные для эффективного запасания световой энергии в химическую: 1) высокий квантовый выход первичного акта переноса, 2) чередование проводящих и непроводящих зон, расположенных на оптимальном расстоянии друг от друга, 3) минимальная реорганизация среды после переноса для каждого компонента цепи, 4) наличие оптимальной внутримолекулярной подвижности (5), способствующей динамической адаптации среды при фоторазделении зарядов.

Отделение института химической физики
Академии наук СССР, Черноголовка Московской обл.

Поступило
27 XI 1980

ЛИТЕРАТУРА

- ¹ А.К. Чубисов, Молекулярная фотоника, Л., "Наука", 1970, стр. 231. ² Г.И. Лихтенштейн, Л.А. Сырцова и др., XII Международн. бот. конгр., тез. докл., Л., "Наука", 1975, стр. 429. ³ J.D. McElroy, D.C. Mauzerall, D. Feher, Biochim. et biophys. acta, v. 333, 261 (1974).
- ⁴ А.В. Кулников, В.Р. Богатыренко и др., Биофизика, т. 24, 178 (1979). ⁵ G.I. Likhtenstein, A.I. Kotelnikov et al., Intern. J. Quant. Chem., v. 16, 419 (1979). ⁶ N.J. Werner, K. Schulter, A. Weller, Biochim. et biophys. acta, v. 502, 255 (1978). ⁷ Е.И. Алфилов, В.М. Возняк, А.П. Казанцев, Биофизика, т. 25, 498 (1980). ⁸ V.A. Schuvalov, A.A. Asadov, Biochim. et biophys. acta, v. 545, 296 (1979). ⁹ Ю.Н. Молин, К.М. Салихов, К.И. Замараев, Спиновый обмен, Новосибирск, "Наука", 1977. ¹⁰ S.S. Eaton, G.R. Eaton, Coord. Chem. Rev., v. 26, 207 (1978). ¹¹ В.Л. Ермолаев, Е.Н. Бодунов и др., Безызлучательный перенос энергии электронного возбуждения, Л., "Наука", 1977. ¹² В.Н. Пармон, А.И. Кокорин, Т.М. Жидомиров, Стабильные бирадикалы, М., "Наука", 1980. ¹³ В.М. Бердников, Г.А. Богданчиков, ЖФХ, т. 43, 273 (1979). ¹⁴ D.M. Tiede, R.C. Prince et al., FEBS Lett., v. 65, 301 (1976). ¹⁵ R.J. Cogdell, T.G. Mouger, W.W. Parson, Biochim. et biophys. acta, v. 408, 189 (1975).